

防衛大学校 土木工学教室 正会員。山 田 正
 防衛大学校 土木工学教室 正会員 池 内 正 幸
 防衛大学校 土木工学教室 正会員 墓 村 利 幸

1.はじめに

河床波に関する研究は従来精力的に進められて來てが、それらの研究のうち多くものは発達し、出来上がり河床波の統計的性質や抵抗との関係を調べるのが目的であり、あるものは河床波の発生のみに着目して安定不安定解析であつて、これに對して本研究は河床波そのものの基礎方程式を導き出すことを目的としており、得られた方程式に基づき、河床波の発生、発達と平衡状態を議論するものである。

2.理論的考察

(a) 基礎式と基本的な関係式 本研究で用いる基本式といふかの関係式は著者らが文献(1)で用いたものと同様である。図1は以後用いる記号の定義を示している。図中の \bar{U} は流れの平均流速、 \bar{u} は局所的な河床波の波高、 u_0 は河床上の流速、 β は(空隙率の効果を考慮した)流砂量である。式(1)は流砂量の連続式、(2)の g_0 は流砂量が局所的な関数であるとしたときの値、 δ はいわゆる遡れ距離である。

g_0 の表現としては林により導入された(文献(2))*inclination factor* β を含む(4)式を用いる。 $\beta = 1 - C$ 、 m は係数であり、平均流砂量 \bar{g}_0 を $C\bar{U}^m$ とする。ここで河床波が存在するとしてある河床近傍の流速を(5)式で表現すると、 u_0^m は近似的に(6)式で表現できる。ここに u_0^m が河床波の存在により変化した流速成分である。(6)を(4)に代入すると $\beta_0(x)$ と(7)を得る。(i) δ の1次までの解析: (3)式での1次までの考慮してときの流砂量 $g(x) = g_0(x) - \delta \frac{\partial g_0}{\partial x}$ となり、粘弾性モデルのガーベルモデルを採用してことにする。次に(7)を上式に代入する。 β_0 と(7)式左辺の下線の項は微小項より以後の解析では無視する。(7)式中の u_0' と(8)式に示すように河床波の波高 δ と関係づける。 u_0' と β_0 の間に線型の関係を仮定してこれは河床波として微小振幅波を考えることによって相当する。(8)式中の $\gamma(x)$ は開水路流れにおいて自由水面に発生する定常波からの寄与を表わしている(文献(1))。若干の計算の後、微小振幅河床波の発生、発達を支配する基本式(δ の1次まで)を得る。(9)式の左辺第2項は移流項であり、移動速度は $m\beta\bar{g}_0/\bar{U}$ である。上記の式展開より、移動速度は一定値であり分散関係(移動速度に及ぼす)は存在しない。これは本解析では河床波を微小振幅長波として扱えないので相当である。第3項は拡散項であるが拡散係数 κ 相当であり $(\alpha\bar{g}_0 - m\beta\delta\bar{g}_0/\bar{U})$ は正の値も負の値もとり得る。拡散係数が負の値を取ることで河床波の発生にひき(f=0で話す)、f>0の場合には拡散係数が正の値をとることで場合でもそれが強制外力として働き、河床波は

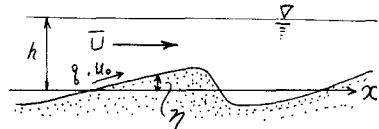


図1 流れの模式図と記号の定義

$$\frac{\partial \bar{U}}{\partial t} + \frac{\partial \bar{g}}{\partial x} = 0 \quad (1), \quad g_0(x) = \bar{g}_0(x-\delta) \quad (2)$$

$$g_0(x-\delta) = g_0(x) - \delta \frac{\partial g_0}{\partial x} + \frac{1}{2} \delta^2 \frac{\partial^2 g_0}{\partial x^2} \quad (3)$$

$$g_0(x) = C u_0^m \cdot \left(1 + \alpha \frac{\partial \eta}{\partial x}\right) \quad (4)$$

$$u_0 = \bar{U} + u_0' \quad (5), \quad u_0^m = \bar{U}^m + m \bar{U}^{m-1} u_0' \quad (6)$$

$$\begin{aligned} g_0(x) &= C \left[\bar{U}^m + m \bar{U}^{m-1} u_0' \right] \left\{ 1 + \alpha \frac{\partial \eta}{\partial x} \right\} \\ &= \bar{g}_0 \left(1 + \alpha \frac{\partial \eta}{\partial x} \right) + m \frac{\bar{g}_0}{\bar{U}} \left(1 + \alpha \frac{\partial \eta}{\partial x} \right) u_0' \quad (7) \end{aligned}$$

$$u_0' = \beta \eta + f(x, \eta, \tau) \quad (8)$$

$$\begin{aligned} \frac{\partial \eta}{\partial t} + m \beta \frac{\bar{g}_0}{\bar{U}} \frac{\partial \eta}{\partial x} + (\alpha \bar{g}_0 - m \beta \delta \frac{\bar{g}_0}{\bar{U}}) \frac{\partial^2 \eta}{\partial x^2} \\ - \delta \alpha \bar{g}_0 \frac{\partial^3 \eta}{\partial x^3} = -m \frac{\bar{g}_0}{\bar{U}} \frac{\partial f}{\partial x} \quad (9) \end{aligned}$$

$$\begin{aligned} \frac{\partial \eta}{\partial t} + m \beta \frac{\bar{g}_0}{\bar{U}} \frac{\partial \eta}{\partial x} + (\alpha \bar{g}_0 - m \beta \delta \frac{\bar{g}_0}{\bar{U}}) \frac{\partial^2 \eta}{\partial x^2} \\ + \left(\frac{1}{2} \delta^2 m \beta \frac{\bar{g}_0}{\bar{U}} - \alpha \delta \bar{g}_0 \right) \frac{\partial^3 \eta}{\partial x^3} \\ + \frac{1}{2} \delta^2 \alpha \bar{g}_0 \frac{\partial^4 \eta}{\partial x^4} = -m \frac{\bar{g}_0}{\bar{U}} \frac{\partial f}{\partial x} \\ + m \delta \frac{\bar{g}_0}{\bar{U}} \frac{\partial^2 f}{\partial x^2} \\ - \frac{1}{2} \delta^2 m \frac{\bar{g}_0}{\bar{U}} \frac{\partial^3 f}{\partial x^3} \quad (10) \end{aligned}$$

$$\eta_t + \alpha \eta_x + \alpha \eta_{xx} + \beta \eta_{xxx} + \kappa \eta_{xxxx} = f(x) \quad (11)$$

発生する。しかし線型長波の基本式(1)式を初期条件としてあらゆる波長の擾乱を与えて全て発達するに至る。これは次に示す解析で明らかにされるよう(3)式のδとして一次までしか考慮していないからである。(ii) δの2次までの解析
(3)式でδの2次までを考慮してときは(9)式の代り(10)式が得られる。(10)式中の種々の係数を新たに $\alpha_0, \alpha_1, \beta_0, \beta_1$ とおくと(11)式の様に簡潔に表現できる。 $\gamma = \frac{1}{2} \delta^2 \alpha_0 \bar{g}_0 > 0$ より(10)式において(11)式中左辺第5項の4階微分の頂点は前述過程を表わしている。従局所の1次まで考慮して(9)式では全ての波長でも、成分は成長しつづけられておりのに対しδの2次まで考慮して(10)式では左辺第5項が成長を抑えうる働きをしているに至る。次に成長率を最大にする波数を求めてみる。すな移動速度 $\alpha = m\beta \bar{g}_0 / \bar{U}$ で動く系からみて、(2)式の様に書けることを仮定し(11)式へ代入すると(13)式が得られる。さら α への実部を微分すると(14)式が得られ、結局成長率最大を示す波数 k_{max} は(15)式で与えられることがわかる。(iii) 非線型長波と河床波浪 上述の解析では慣性を受けて底面流速成分は河床波高の1次に比例する(8)式)としているが、近似度をもう一ランク上げて(18)式のように表現してみる。強いて言うならば非線型長波として取り扱いをしてしまったのが(10)式に相当する式として(19)式、(20)式で無次元量を用ひて(21)式が得られる。(21)式が意味することは河床波は平均的に無次元速度 m で移動しつつ波高の大きいところはより速く進むために波形は次第に前傾化していくことである。次に拡散係数 γ の関数と(1)式を比較し、成長した河床波は拡散係数を0.4と組んで成長が止むことである。試みに $m=1, \delta=1$ 等に適当な値を代入し、拡散係数=0.4と最大波高 $2y_{max}$ を求めてみる。 $\alpha=1, m=4, \delta/h=0.2$ を代入すれば、
 $2y_{max} = 2y_{max}/h = 0.2667$ であり、一般に実験的知り得るより0.25の組と極めて近い値を得る。(b) 基礎方程式の解の持性 前述の基本式(1)式の解は数値的に模討されており、非常に興味ある結果が得られている。それは適当な初期値から発達すると(15)式で表される車載波数が急速に成長を始め、 γ と初期値に依存して k_{max} の波長を正確に保ちつつ成長を続ける。一方で初期値に依存して k_{max} の波長を正確に保ちつつ成長するが、全体としては不規則な形状であり、以後二のような状態(カオス)が続く場合があることがあるようである。どちらかのケースも河床波として考へらざれども(2)式の解は得られない。今後数值計算と実験を通して調べて行きたいと考えている。

- 参考文献
- (1) 山田正、池内正幸、堤江良徳: 第28回水理講習会論文集, pp.149~155, 1984.
 - (2) Hayashi, T., Proc. ASCE, Vol. 96, No. HY2, pp.431~439, 1970.
 - (3) Kawahara, T., Physical Review Letters, Vol. 51, No. 5, pp. 381~383, 1983.

$$\gamma \propto e^{(ikx + \omega t)} \quad (12)$$

$$\sigma = \alpha_0 k^2 - \gamma k^4 + i \beta k^3 \quad (13)$$

$$Re\left(\frac{d\sigma}{dk}\right) = 2k\alpha_0 - 4k^3\gamma = 0 \quad (14)$$

$$k_{max} = \sqrt{\alpha_0 / 2\gamma} \quad (15)$$

$$\alpha_0 = \left\{ \alpha - m \left(\frac{h}{\bar{U}} \right) \left(\frac{\delta}{h} \right) \right\} \bar{g}_0 \quad (16)$$

$$\gamma_0 = \frac{1}{2} \delta^2 \alpha_0 \bar{g}_0 \quad (17)$$

$$u_0 = \bar{U} \frac{h}{k-\gamma} + \bar{U} f(x, \gamma) \quad (18)$$

$$\begin{aligned} \frac{\partial \gamma}{\partial t} + m \frac{\bar{g}_0}{h} (1+2\frac{\gamma}{h}) \frac{\partial \gamma}{\partial x} + \bar{g}_0 (\alpha - m \frac{\delta}{h} (1+2\frac{\gamma}{h})) \frac{\partial^2 \gamma}{\partial x^2} \\ + \left(\frac{1}{2} \delta^2 m (1+2\frac{\gamma}{h}) \frac{\bar{g}_0}{h} - \alpha \delta \bar{g}_0 \right) \frac{\partial^3 \gamma}{\partial x^3} \\ + \frac{1}{2} \delta^2 \alpha \bar{g}_0 \frac{\partial^4 \gamma}{\partial x^4} = F(x) \end{aligned} \quad (19)$$

$$\gamma = \gamma/h, \xi = x/h, \tau = t \cdot \bar{g}_0 / h^2 \quad (20)$$

$$\begin{aligned} \frac{\partial y}{\partial \tau} + m (1+2y) \frac{\partial y}{\partial \xi} + (\alpha - m \frac{\delta}{h} (1+2y)) \frac{\partial^2 y}{\partial \xi^2} \\ + \left\{ \frac{1}{2} \left(\frac{\delta}{h} \right)^2 m (1+2y) - \alpha \left(\frac{\delta}{h} \right) \right\} \frac{\partial^3 y}{\partial \xi^3} \\ + \frac{1}{2} \alpha \left(\frac{\delta}{h} \right) \frac{\partial^4 y}{\partial \xi^4} = G(\xi) \end{aligned} \quad (21)$$

$$\alpha - m \frac{\delta}{h} (1+2y) = 0, \quad (22)$$

$$2y_{max} = \frac{2y_{max}}{h} = \left(\frac{\alpha}{m} \frac{h}{\delta} - 1 \right) \quad (23)$$